

마. 분광분석기를 이용하여 토양 시료 측정 결과

FieldSpec3을 이용하여 측정한 토양샘플의 일부에 대해 파장대별 반사율의 변화를 Fig. 1-7에서 Fig. 1-14에 걸쳐 나타내었다. Fig. 1-7에는 감자 재배지, Fig. 1-8은 참깨, Fig. 1-14에는 무, 밀, 옥수수, 배추 재배지의 특성으로, Fig. 1-15에서 알 수 있듯이 측정결과가 유사한 경향을 나타내고 있으며, 1,900 nm까지 reflectance가 증가하다가 이후에 점차적으로 감소하고 있으며, 모든 데이터에서 유사한 유형을 나타내고 있었다. 그리고 1,000 nm에서 반사도가 급격하게 증가되는 부분은 측정 장비의 기계적인 특성으로 판단되어 1,000 nm의 반사율은 고려하지 않았다.

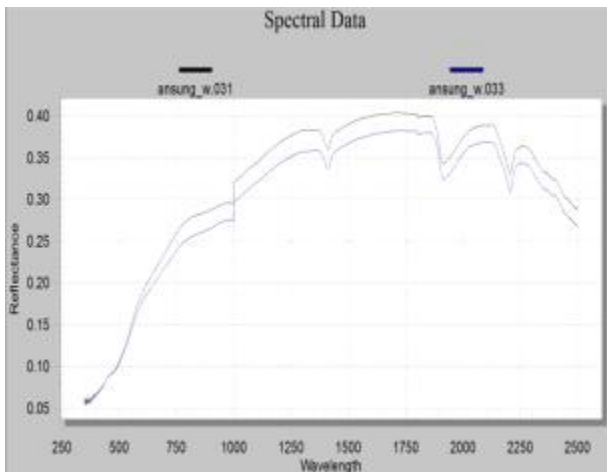


Fig. 1-7 감자 재배지의 파장대별 반사율

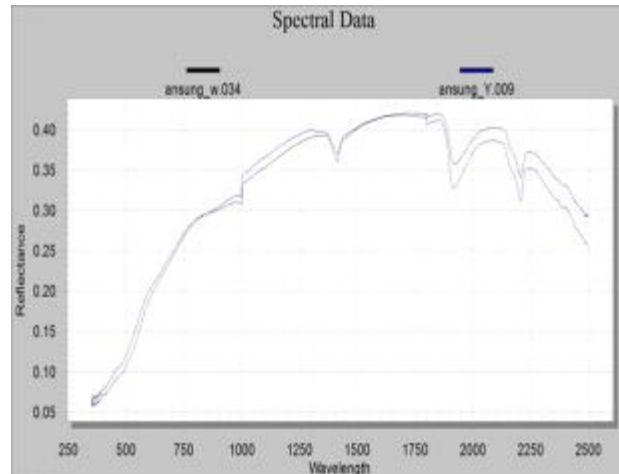


Fig. 1-8 참깨 재배지의 파장대별 반사율

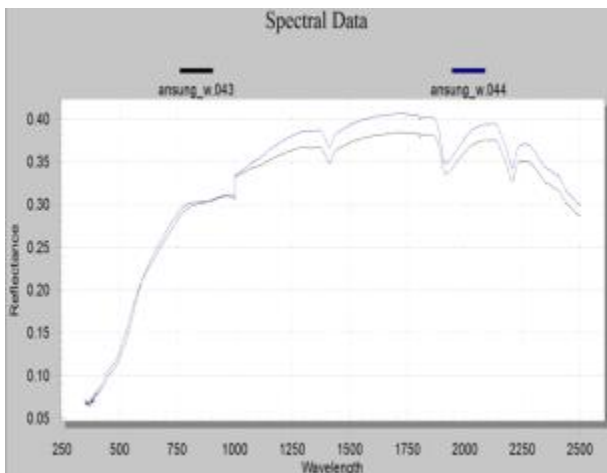


Fig. 1-9 파 재배지의 파장대별 반사율

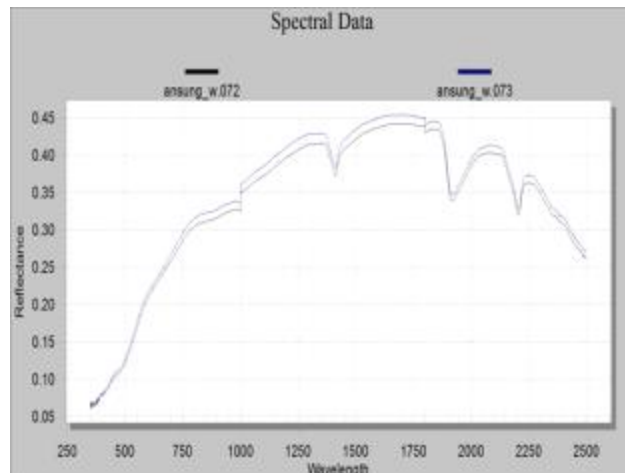


Fig. 1-10 고추 재배지의 파장대별 반사율